

УДК 532.5

## МЕДЛЕННОЕ ПЕРИСТАЛЬТИЧЕСКОЕ ТЕЧЕНИЕ В ВЕРТИКАЛЬНОМ КАНАЛЕ С УЧЕТОМ ЭФФЕКТОВ СОРЕ И ДЮФУРА

Т. Хайат<sup>\*,\*\*</sup>, Ф. М. Аббаси<sup>\*\*\*</sup>, А. Алсаеди<sup>\*\*</sup>

\* Университет Куэд-и-Азам, 44000 Исламабад, Пакистан

\*\* Университет короля Абдул-Азиза, 21589 Джедда, Саудовская Аравия

\*\*\* Институт информационных технологий COMSATS, 44000 Исламабад, Пакистан

E-mails: fmgpak@gmail.com, abbasisarkar@gmail.com, aalsaedi@hotmail.com

Исследуется тепло- и массоперенос при перистальтическом движении вязкой жидкости. Математическое моделирование этого процесса проводится с учетом джоулева нагрева и эффектов Соре и Дюфура в длинноволновом приближении при малых числах Рейнольдса. Решение задачи получено методом возмущений при малом числе Бринкмана.

Ключевые слова: перистальтическое движение, джоулев нагрев, эффекты Соре и Дюфура.

DOI: 10.15372/PMTF20170107

**Введение.** Интерес к исследованию перистальтического течения жидкости в канале (трубе) обусловлен тем, что такие течения встречаются в различных технологических процессах, а также в физиологических процессах, происходящих в живых организмах. В работе [1] впервые проведено исследование перистальтического течения вязкой жидкости. Позднее изучалось перистальтическое течение в каналах различной формы с использованием различных методов [2–9]. Влияние тепло- и массопереноса является существенным в таких процессах, как сушка, испарение с поверхности водоемов, течение в холодильных установках и т. д. Тепло- и массоперенос при перистальтическом течении изучался в работах [10–19].

В данной работе исследуется тепло- и массоперенос при магнитогидродинамическом перистальтическом течении в вертикальном канале с учетом джоулева нагрева и эффектов Соре и Дюфура. Представлены решения задачи, полученные с помощью метода возмущений, и выполнен их анализ.

**1. Математическая постановка задачи.** В работе моделируется перистальтическое движение вязкой жидкости в вертикальном канале. Течение инициируется синусоидальными волнами, движущимися с постоянной скоростью  $s$ . Ширина канала, заполненного несжимаемой электропроводящей жидкостью, равна  $2a$ . Жидкость является проводящей, в поперечном направлении течения приложено однородное магнитное поле напряженностью  $B_0$ . В силу предположения о малости магнитного числа Рейнольдса воздействиями индуцированных электрического и магнитного полей пренебрегается. Поэтому магнитное

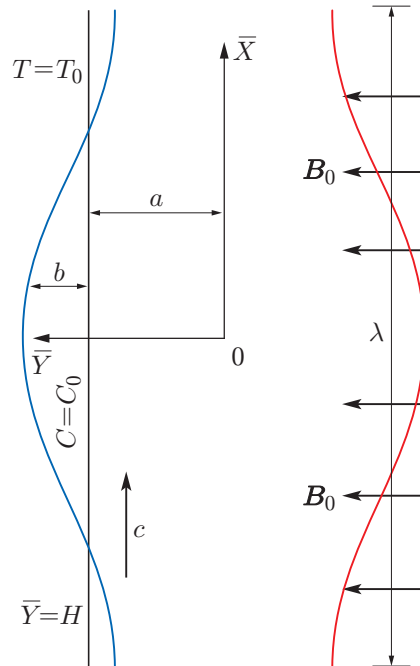


Рис. 1. Схема задачи

поле не проникает в жидкость [14–16]. Форма стенки задается следующим образом:

$$H(\bar{X}, \bar{t}) = a + b \cos(2\pi(\bar{X} - c\bar{t})/\lambda).$$

Здесь  $b$  — амплитуда волны;  $\lambda$  — длина волны;  $\bar{t}$  — время. Схема задачи приведена на рис. 1.

Выражение для скорости двумерного течения записывается в виде

$$\mathbf{V} = [\bar{U}(\bar{X}, \bar{Y}, \bar{t}), \bar{V}(\bar{X}, \bar{Y}, \bar{t}), 0],$$

выражение для силы Лоренца — в виде

$$\mathbf{F} = \mathbf{J} \times \mathbf{B},$$

где  $\mathbf{B} = [0, B_0, 0]$ . В случае отсутствия приложенного и индуцированного электрических полей плотность тока определяется следующим образом:

$$\mathbf{J} = \sigma[\mathbf{V} \times \mathbf{B}].$$

Таким образом,

$$\mathbf{F} = [-\sigma B_0^2 \bar{U}, 0, 0].$$

Законы сохранения массы, импульса и энергии в приближении Буссинеска для силы плавучести, наличие которой обусловлено изменением температуры и концентрации, имеют следующий вид:

$$\begin{aligned} \frac{\partial \bar{U}}{\partial \bar{X}} + \frac{\partial \bar{V}}{\partial \bar{Y}} &= 0; \\ \rho \left( \frac{\partial}{\partial \bar{t}} + \bar{U} \frac{\partial}{\partial \bar{X}} + \bar{V} \frac{\partial}{\partial \bar{Y}} \right) \bar{U} &= -\frac{\partial \bar{P}}{\partial \bar{X}} + \mu \left( \frac{\partial^2 \bar{U}}{\partial \bar{X}^2} + \frac{\partial^2 \bar{U}}{\partial \bar{Y}^2} \right) - \sigma B_0^2 \bar{U} + \\ &\quad + \rho g \alpha (T - T_0) + \rho g \alpha^* (C - C_0), \\ \rho \left( \frac{\partial}{\partial \bar{t}} + \bar{U} \frac{\partial}{\partial \bar{X}} + \bar{V} \frac{\partial}{\partial \bar{Y}} \right) \bar{V} &= -\frac{\partial \bar{P}}{\partial \bar{Y}} + \mu \left( \frac{\partial^2 \bar{V}}{\partial \bar{X}^2} + \frac{\partial^2 \bar{V}}{\partial \bar{Y}^2} \right), \end{aligned} \quad (1)$$

$$\begin{aligned} \rho\zeta\left(\frac{\partial}{\partial\bar{t}} + \bar{U}\frac{\partial}{\partial\bar{X}} + \bar{V}\frac{\partial}{\partial\bar{Y}}\right)T &= K\left(\frac{\partial^2 T}{\partial\bar{X}^2} + \frac{\partial^2 T}{\partial\bar{Y}^2}\right) + \\ &+ \mu\left[2\left(\left(\frac{\partial\bar{U}}{\partial\bar{X}}\right)^2 + \left(\frac{\partial\bar{V}}{\partial\bar{Y}}\right)^2\right) + \left(\frac{\partial\bar{U}}{\partial\bar{Y}} + \frac{\partial\bar{V}}{\partial\bar{X}}\right)^2\right] + \sigma B_0^2 \bar{U}^2 + \frac{DK_T}{C_s}\left(\frac{\partial^2 C}{\partial\bar{X}^2} + \frac{\partial^2 C}{\partial\bar{Y}^2}\right) + \Phi, \\ \left(\frac{\partial}{\partial\bar{t}} + \bar{U}\frac{\partial}{\partial\bar{X}} + \bar{V}\frac{\partial}{\partial\bar{Y}}\right)C &= D\left(\frac{\partial^2 C}{\partial\bar{X}^2} + \frac{\partial^2 C}{\partial\bar{Y}^2}\right) + \frac{DK_T}{T_m}\left(\frac{\partial^2 T}{\partial\bar{X}^2} + \frac{\partial^2 T}{\partial\bar{Y}^2}\right). \end{aligned} \quad (2)$$

Здесь  $\bar{U}$ ,  $\bar{V}$  — компоненты скорости в неподвижной системе координат  $(\bar{X}, \bar{Y})$ ;  $\bar{P}$  — давление;  $g$  — ускорение свободного падения;  $\alpha$  — коэффициент теплового расширения;  $\alpha^*$  — коэффициент концентрационного расширения;  $\sigma$  — электропроводность;  $K$  — теплопроводность;  $C$  — концентрация;  $T$  — температура;  $D$  — коэффициент диффузии;  $K_T$  — термодиффузионный коэффициент;  $\Phi$  — количество поглощаемого тепла;  $\zeta$  — удельная теплоемкость;  $C_s$  — концентрационная восприимчивость;  $C_0$  — концентрация вещества на границе области;  $T_m$ ,  $T_0$  — средняя температура жидкости и температура на границе соответственно.

Введем связанную с волной систему координат  $(\bar{x}, \bar{y})$ :

$$\bar{x} = \bar{X} - c\bar{t}, \quad \bar{y} = \bar{Y}$$

и следующие переменные:

$$\begin{aligned} \bar{u} = \bar{U} - c, \quad \bar{v} = \bar{V}, \quad \bar{p}(\bar{x}, \bar{y}) = \bar{P}(\bar{X}, \bar{Y}, \bar{t}), \quad x = \frac{\bar{x}}{\lambda}, \quad y = \frac{\bar{y}}{a}, \quad u = \frac{\bar{u}}{c}, \quad v = \frac{\bar{v}}{c\delta}, \\ \delta = \frac{a}{\lambda}, \quad h = \frac{H}{a}, \quad d = \frac{b}{a}, \quad p = \frac{a^2 \bar{p}}{c\lambda\mu}, \\ \theta = \frac{T - T_0}{T_0}, \quad \varphi = \frac{C - C_0}{C_0}, \quad M^2 = \frac{\sigma}{\mu} B_0^2 a^2, \quad \nu = \frac{\mu}{\rho}, \quad \text{Re} = \frac{\rho c a}{\mu}, \\ t = \frac{c\bar{t}}{\lambda}, \quad \text{Br} = \text{Pr} \text{Ec}, \quad \text{Du} = \frac{DC_0 K_T}{C_s \zeta \mu T_0}, \quad \text{Sr} = \frac{\rho D K_T T_0}{\mu T_m C_0}, \quad \text{Sc} = \frac{\mu}{\rho D}, \\ \text{Ec} = \frac{c^2}{\zeta T_0}, \quad \text{Pr} = \frac{\mu \zeta}{K}, \quad \text{Gr}_t = \frac{\rho g \alpha T_0 a^2}{\mu c}, \quad \text{Gr}_c = \frac{\rho g \alpha^* C_0 a^2}{\mu c}, \\ \beta = \frac{a^2 \Phi}{K(T - T_0)}, \quad u = \frac{\partial \psi}{\partial y}, \quad v = -\frac{\partial \psi}{\partial x}. \end{aligned}$$

Здесь  $\nu$  — кинематическая вязкость;  $M$  — число Гартмана;  $\text{Re}$  — число Рейнольдса;  $\text{Gr}_t$  — локальное температурное число Грасгофа;  $\text{Gr}_c$  — локальное концентрационное число Грасгофа;  $\beta$  — безразмерный параметр теплового источника (стока);  $\text{Br}$  — число Бринкмана;  $\text{Du}$  — число Дюфура;  $\text{Sr}$  — число Сорэ;  $\text{Sc}$  — число Шмидта;  $\text{Ec}$  — число Эккерта;  $\text{Pr}$  — число Прандтля;  $\delta$  — волновое число;  $\theta$ ,  $\varphi$  — безразмерные температура и концентрация. В указанных переменных условие несжимаемости (1) удовлетворяется тождественно. Длинноволновое приближение ( $\delta \ll 1$ ) и предположение о малости числа Рейнольдса ( $\text{Re} \ll 1$ ) используются при анализе перистальтических течений [20, 21]. В длинноволновом приближении при малом числе Рейнольдса в безразмерных переменных уравнения (2) имеют следующий вид:

$$\begin{aligned} \frac{dp}{dx} &= \frac{\partial^3 \psi}{\partial y^3} - M^2 \left( \frac{\partial \psi}{\partial y} + 1 \right) + \text{Gr}_t \theta + \text{Gr}_c \varphi, \\ \frac{\partial^4 \psi}{\partial y^4} - M^2 \frac{\partial^2 \psi}{\partial y^2} + \text{Gr}_t \frac{\partial \theta}{\partial y} + \text{Gr}_c \frac{\partial \varphi}{\partial y} &= 0; \end{aligned} \quad (3)$$

$$\frac{\partial p}{\partial y} = 0; \quad (4)$$

$$0 = \frac{\partial^2 \theta}{\partial y^2} + \text{Br} \left( \frac{\partial^2 \psi}{\partial y^2} \right)^2 + \text{Br} M^2 \left( \frac{\partial \psi}{\partial y} + 1 \right)^2 + \text{Pr Du} \frac{\partial^2 \varphi}{\partial y^2} + \beta, \quad (5)$$

$$0 = \frac{1}{\text{Sc}} \frac{\partial^2 \varphi}{\partial y^2} + \text{Sr} \frac{\partial^2 \theta}{\partial y^2}.$$

Заметим, что в предельном случае ( $\text{Re} = \delta = \text{Br} = \text{Gr}_t = \text{Gr}_c = 0$ ) решением упрощенной системы (3)–(5) является классическое течение Гартмана. Из уравнения (4) следует, что  $p$  не зависит от координаты  $y$ .

Граничные условия имеют вид

$$y = 0: \quad \psi = 0, \quad \frac{\partial^2 \psi}{\partial y^2} = 0, \quad \frac{\partial \theta}{\partial y} = 0, \quad \frac{\partial \varphi}{\partial y} = 0,$$

$$y = h: \quad \psi = F, \quad \frac{\partial \psi}{\partial y} = -1, \quad \theta = 0, \quad \varphi = 0,$$

$$h(x) = 1 + d \cos(2\pi x), \quad F = \int_0^h \frac{\partial \psi}{\partial y} dy,$$

где  $h(x)$  — уравнение стенки в безразмерной форме. Безразмерные средние расходы жидкости  $\eta$  и  $F$  в неподвижной и подвижной системах координат соответственно связаны соотношением

$$\eta = F + 1.$$

Приращение давления на длине волны  $\Delta p_\lambda$  задается выражением

$$\Delta p_\lambda = \int_0^1 \frac{dp}{dx} dx.$$

**2. Разложение в ряд решения задачи.** Разложим функцию тока по малому числу Бринкмана:

$$\psi = \psi_0 + \text{Br} \psi_1 + \dots$$

Аналогично раскладываются величины  $\theta$ ,  $\varphi$ ,  $F$ ,  $P$ . Следует отметить, что условие  $\text{Br} \ll 1$  не накладывает существенных ограничений. Например, вода — наиболее распространенная ньютоновская жидкость — при температуре  $T = 25$  °С имеет динамическую вязкость  $\mu = 0,89$  сП и теплопроводность  $K = 0,58$  Вт/(м·К). Если характерная скорость потока равна 1 м/с, температура стенки равна 310 К, то число Бринкмана будет составлять  $\text{Br} = 1,2787 \cdot 10^{-4} \ll 1$ . Это позволяет выбрать число Бринкмана  $\text{Br}$  в качестве малого параметра. В результате в нулевом приближении система уравнений имеет вид

$$\frac{dp_0}{dx} = \frac{\partial^3 \psi_0}{\partial y^3} - M^2 \left( \frac{\partial \psi_0}{\partial y} + 1 \right) + \text{Gr}_t \theta_0 + \text{Gr}_c \varphi_0,$$

$$0 = \frac{\partial^2 \theta_0}{\partial y^2} + \text{Pr Du} \frac{\partial^2 \varphi_0}{\partial y^2} + \beta,$$

$$0 = \frac{1}{\text{Sc}} \frac{\partial^2 \varphi_0}{\partial y^2} + \text{Sr} \frac{\partial^2 \theta_0}{\partial y^2},$$

$$\begin{aligned}
y = 0: \quad \psi_0 = 0, \quad \frac{\partial^2 \psi_0}{\partial y^2} = 0, \quad \frac{\partial \theta_0}{\partial y} = 0, \quad \frac{\partial \varphi_0}{\partial y} = 0, \\
y = h: \quad \psi_0 = F_0, \quad \frac{\partial \psi_0}{\partial y} = -1, \quad \theta_0 = 0, \quad \varphi_0 = 0,
\end{aligned}$$

в первом приближении — вид

$$\begin{aligned}
\frac{dp_1}{dx} &= \frac{\partial^3 \psi_1}{\partial y^3} - M^2 \frac{\partial \psi_1}{\partial y} + \text{Gr}_t \theta_1 + \text{Gr}_c \varphi_1, \\
0 &= \frac{\partial^2 \theta_1}{\partial y^2} + \text{Pr Du} \frac{\partial^2 \varphi_1}{\partial y^2} + \left( \frac{\partial^2 \psi_0}{\partial y^2} \right)^2 + M^2 \left( \frac{\partial \psi_0}{\partial y} + 1 \right)^2, \\
0 &= \frac{1}{\text{Sc}} \frac{\partial^2 \varphi_1}{\partial y^2} + \text{Sr} \frac{\partial^2 \theta_1}{\partial y^2}, \\
y = 0: \quad \psi_1 = 0, \quad \frac{\partial^2 \psi_1}{\partial y^2} = 0, \quad \frac{\partial \theta_1}{\partial y} = 0, \quad \frac{\partial \varphi_1}{\partial y} = 0, \\
y = h: \quad \psi_1 = F_1, \quad \frac{\partial \psi_1}{\partial y} = 0, \quad \theta_1 = 0, \quad \varphi_1 = 0.
\end{aligned}$$

Решения этих систем записываются в виде

$$\begin{aligned}
\psi &= \frac{e^{-My} e^{M(h+2y)}}{6L_2} (-6(-1+A)A_1(y) + 2e^{hM} L_1 y (6A_3)) \beta + \text{Br} \left( -\frac{e^{5Mh+y}}{L_{11}} A_4(y) + L_{12} \right), \\
\theta &= \frac{(-h^2 + y^2)\beta}{2(-1+A)} - \frac{\text{Br} L_7}{360L_6^2}, \quad \varphi = \frac{L_8}{360(-1+A)^3} + \frac{\text{Br} L_{10}}{L_9^2},
\end{aligned}$$

где

$$\begin{aligned}
L_1 &= (3(-1+A)(F+h)M^2 A_2(y)) e^{M(h+2y)}, \quad L_2 = (-1+A)M^2(1+hM + e^{2hM}(-1+hM)), \\
L_3 &= 16e^{-2My+3M(h+y)} h(-1+h^2M^2)(\text{Gr}_t - \text{Gr}_c \text{Sc Sr}) \beta^2, \\
L_4 &= A_6(y) + A_7(y)(-1+A)(F+h) + A_8(y) + A_9(y), \\
L_5 &= (-1+A)^3 M^{10}(1+hM + e^{2hM}(-1+hM)), \quad L_6 = (-1+A)^3(1+hM + e^{2hM}(-1+hM)), \\
L_7 &= 720(-1+A)^2 e^{M(h-y)F^2M^2} B_1(y) + B_2(y) + B_3(y) + B_4(y) + B_5(y), \\
L_8 &= \text{Sc Sr} 180(-1+A)^2(h-y)(h+y)\beta, \\
L_9 &= 360(-1+A)^3(1+hM + e^{2hM}(-1+hM)), \quad L_{10} = C_1(y) + C_2(y) + C_3(y) + C_4(y) + C_5(y), \\
L_{11} &= 1+hM + e^{2hM}(-1+hM), \quad L_{12} = A_5(y) + \frac{L_3}{L_5^5} e^{M(h+2y)} L_4 + A_{10}(y),
\end{aligned}$$

$$A = \text{Pr Sc Sr Du}.$$

Выражения для величин  $A_i$ ,  $B_i$  и  $C_i$  в данной работе не приводятся.

**3. Результаты исследования и их обсуждение.** На рис. 2 представлена зависимость градиента давления от координаты  $x$  при различных значениях числа Гартмана. Видно, что при перистальтическом течении зависимость градиента давления от координаты  $x$  имеет волнообразный характер. При фиксированном значении  $x$  градиент давления уменьшается с увеличением числа Гартмана  $M$ . На рис. 3, 4 показано влияние числа

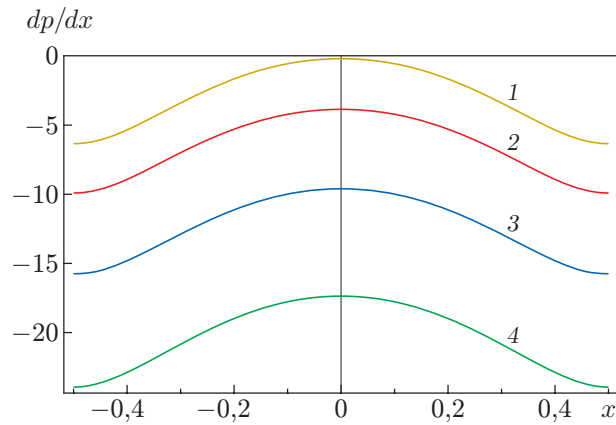


Рис. 2. Зависимость градиента давления от координаты  $x$  при  $Gr_t = Gr_c = 2,0$ ,  $Sc = Sr = 0,5$ ,  $Du = 0,2$ ,  $\eta = 1,0$ ,  $B\gamma = 0,25$ ,  $d = 0,3$  и различных значениях числа Гартмана  $M$ :

1 —  $M = 1$ , 2 —  $M = 2$ , 3 —  $M = 3$ , 4 —  $M = 4$

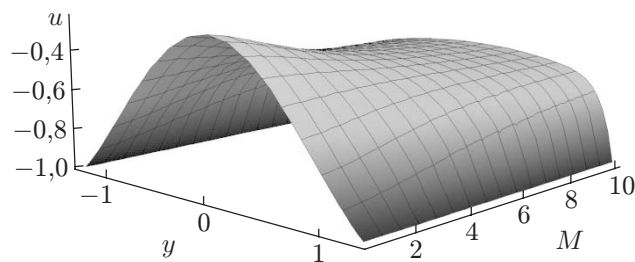


Рис. 3. Зависимость осевой скорости от координаты  $y$  и числа Гартмана  $M$  при  $Gr_t = Gr_c = 2,0$ ,  $Sc = Sr = 0,5$ ,  $Du = 0,2$ ,  $\eta = 1,0$ ,  $B\gamma = 0,25$ ,  $x = 0$ ,  $d = 0,3$

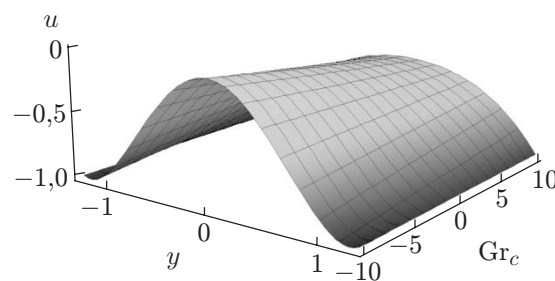


Рис. 4. Зависимость осевой скорости от координаты  $y$  и концентрационного числа Грасгофа  $Gr_c$  при  $Gr_t = 2,0$ ,  $M = 1,0$ ,  $Sc = Sr = 0,5$ ,  $Du = 0,2$ ,  $\eta = 1,0$ ,  $B\gamma = 0,25$ ,  $x = 0$ ,  $d = 0,3$

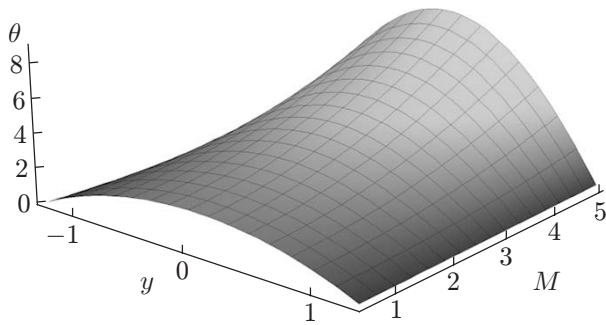


Рис. 5

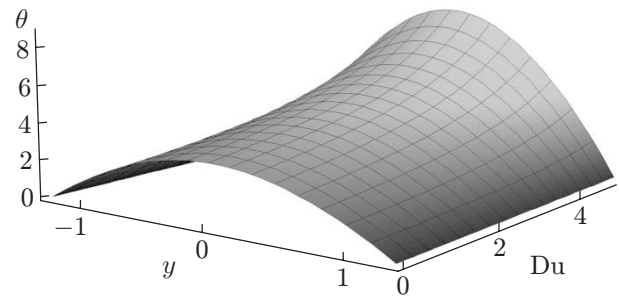


Рис. 6

Рис. 5. Зависимость температуры от координаты  $y$  и числа Гартмана  $M$  при  $Gr_t = Gr_c = 2,0$ ,  $Sc = Sr = 0,5$ ,  $Du = 0,2$ ,  $\eta = 1,0$ ,  $Br = 0,25$ ,  $x = 0$ ,  $d = 0,3$

Рис. 6. Зависимость температуры от координаты  $y$  и числа Дюфура  $Du$  при  $Gr_t = Gr_c = 2,0$ ,  $Sc = Sr = 0,5$ ,  $M = 1,0$ ,  $\eta = 1,0$ ,  $Br = 0,25$ ,  $x = 0$ ,  $d = 0,3$

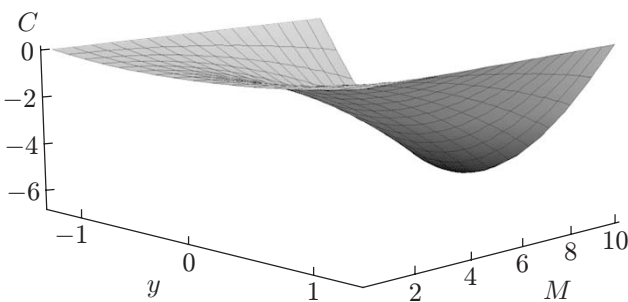


Рис. 7

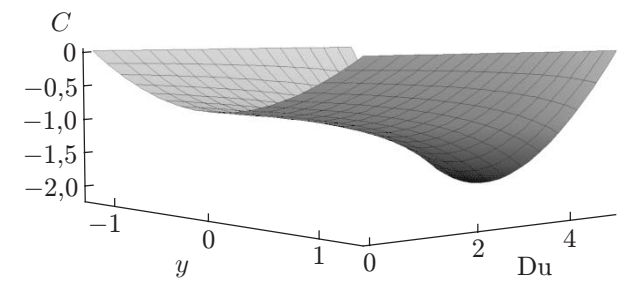


Рис. 8

Рис. 7. Зависимость концентрации от координаты  $y$  и числа Гартмана  $M$  при  $Gr_t = Gr_c = 2,0$ ,  $Sc = Sr = 0,5$ ,  $Du = 0,2$ ,  $\eta = 1,0$ ,  $Br = 0,25$ ,  $x = 0$ ,  $d = 0,3$

Рис. 8. Зависимость концентрации от координаты  $y$  и числа Дюфура  $Du$  при  $Gr_t = Gr_c = 2,0$ ,  $Sc = Sr = 0,5$ ,  $M = 1,0$ ,  $\eta = 1,0$ ,  $Br = 0,25$ ,  $x = 0$ ,  $d = 0,3$

Гартмана и концентрационного числа Грасгофа на скорость жидкости. Видно, что с увеличением числа Гартмана скорость жидкости уменьшается (см. рис. 3), поскольку сила Лоренца является силой сопротивления. Из рис. 4 следует, что с увеличением концентрационного числа Грасгофа  $Gr_c$  скорость жидкости также уменьшается.

Распределение температуры представлено на рис. 5, 6. Видно, что при увеличении  $M$  и  $Du$  температура увеличивается. Увеличение температуры с увеличением числа Гартмана происходит вследствие джоулева нагрева, поэтому температура жидкости увеличивается с увеличением напряженности приложенного магнитного поля. Также на рис. 6 видно, что учет эффекта Дюфура приводит к значительному увеличению температуры жидкости. На рис. 7, 8 показано влияние чисел Гартмана  $M$  и Дюфура  $Du$  на концентрацию жидкости. Видно, что с увеличением напряженности приложенного магнитного поля концентрация уменьшается (см. рис. 7). Учет эффекта Дюфура также приводит к уменьшению концентрации жидкости (см. рис. 8).

**Заключение.** Исследовано влияние эффектов Соре и Дюфура на перистальтическое движение вязкой жидкости в вертикальном симметричном канале. Результаты проведенного исследования позволяют сделать следующие выводы. При увеличении напряженности

приложенного магнитного поля градиент давления и осевая скорость уменьшаются. Увеличение концентрационного числа Грасгофа приводит к уменьшению максимальной скорости. При увеличении чисел Гартмана и Дюфура температура жидкости увеличивается. Увеличение чисел Гартмана и Дюфура приводит к уменьшению концентрации жидкости.

#### ЛИТЕРАТУРА

1. **Latham T. W.** Fluid motion in a peristaltic pump: M. S. thesis. Cambridge: Massachusetts Inst. of Technol., 1966.
2. **Kothandapani M., Srinivas S.** Peristaltic transport of a Jeffrey fluid under the effect of magnetic field in an asymmetric channel // Intern. J. Non-linear Mech. 2008. V. 43. P. 915–924.
3. **Mekheimer Kh. S., Abd Elmaboud Y.** Peristaltic flow of a couple stress fluid in an annulus: Application of an endoscope // Phys. A. 2008. V. 387, iss. 11. P. 2403–2415.
4. **Hayat T., Abbasi F. M.** Variable viscosity effects on the peristaltic motion of a third order fluid // Intern. J. Numer. Methods Fluids. 2011. V. 67. P. 1500–1515.
5. **Mekheimer Kh. S., Komy S. R., Abdelsalamd S. I.** Simultaneous effects of magnetic field and space porosity on compressible Maxwell fluid transport induced by a surface acoustic wave in a microchannel // Chinese Phys. B. 2013. V. 22. 124702.
6. **Abd Elmaboud Y., Mekheimer Kh. S.** Non-linear peristaltic transport of a second-order fluid through a porous medium // Appl. Math. Modelling. 2011. V. 35. P. 2695–2710.
7. **Mekheimer Kh. S., Abd Elmaboud Y., Abdellateef A. I.** Particulate suspension flow induced by sinusoidal peristaltic waves through eccentric cylinders: thread annular // Intern. J. Biomath. 2013. V. 6, iss. 4. 1350026.
8. **Hayat T., Abbasi F. M., Ahmad B., Alsaedi A.** Peristaltic transport of Carreau — Yasuda fluid in a curved channel with slip effects // PLoS ONE. 2014. V. 9, N 4. e95070.
9. **Abbasi F. M., Alsaedi A., Hayat T.** Peristaltic transport of Eyring — Powell fluid in a curved channel // J. Aerospace Engng. 2014. V. 27. 04014037.
10. **Srinivas S., Gayathri R., Kothandapani M.** Mixed convective heat and mass transfer in an asymmetric channel with peristalsis // Comm. Non-linear Sci. Numer. Simulat. 2011. V. 16, N 4. P. 1845–1862.
11. **Tripathi D.** A mathematical model for swallowing of food bolus through the oesophagus under the influence of heat transfer // Intern J. Thermal Sci. 2012. V. 51. P. 91–101.
12. **Abbasi F. M., Hayat T., Alsaedi A., Ahmed B.** Soret and Dufour effects on peristaltic transport of MHD fluid with variable viscosity // Appl. Math. Inform. Sci. 2014. V. 8. P. 211–219.
13. **Hayat T., Abbasi F. M., Al-Yami M., Monaque S.** Slip and Joule heating effects in mixed convection peristaltic transport of nanofluid with Soret and Dufour effects // J. Molecular Liquids. 2014. V. 194. P. 93–99.
14. **Abbasi F. M., Hayat T., Ahmad B.** Peristaltic flow in an asymmetric channel with convective boundary conditions and Joule heating // J. Central South Univ. Technol. 2014. V. 21. P. 1411–1416.
15. **Hayat T., Abbasi F. M., Alsaedi A., Alsaadi F.** Hall and Ohmic heating effects on the peristaltic transport of Carreau — Yasuda fluid in an asymmetric channel // Z. Naturforsch. 2014. Bd 69a. S. 43–51.
16. **Hayat T., Abbasi F. M., Alsaedi A.** Soret and Dufour effects on peristaltic flow in an asymmetric channel // Arab. J. Sci. Engng. 2014. V. 39. P. 4341–4349.
17. **Hayat T., Abbasi F. M., Alhuthali M. S., et al.** Soret and Dufour effects on peristaltic transport of a third order fluid // Heat Transfer Res. 2014. V. 45. P. 589–603.



18. **Shehzad S. A., Abbasi F. M., Hayat T., Alsaadi F.** MHD mixed convective peristaltic motion of nanofluid with Joule heating and thermophoresis effects // PLoS ONE. 2014. V. 9, N 11. e111417.
19. **Abbasi F. M., Alsaedi A., Hayat T.** Mixed convective heat and mass transfer analysis for peristaltic transport in an asymmetric channel with Soret and Dufour effects // J. Central South Univ. Technol. 2014. V. 21. P. 4585–4591.
20. **Srivastava L. M., Srivastava V. P.** Peristaltic transport of a power law fluid: Applications to the ductus efferentes of the reproductive tract // Rheol. Acta. 1988. V. 27. P. 428–433.
21. **Lew S. H., Fung Y. C., Lowenstein C. B.** Peristaltic carrying and mixing of chyme // J. Biomech. 1971. V. 4. P. 297–315.

*Поступила в редакцию 12/III 2014 г.,  
в окончательном варианте — 24/XI 2014 г.*

---